

耐热嗜碱蛋白酶基因的克隆、 表达及其酶学性质分析

谢爱连¹, 林碧瑜¹, 牛丹丹^{1*}, NOKUTHULA Peace Mchunu², 叶秀云¹

(1.福州大学生物科学与工程学院,福建省海洋酶工程重点实验室,福建福州 350108;

2.Department of Biotechnology and Food Technology, Faculty of Applied Sciences, Durban University of Technology, Natal Durban 4000)

摘要:碱性蛋白酶是一类重要的工业酶制剂。为进一步提高碱性蛋白酶在高温碱性条件下的活力,增强其工业应用价值,本文从地衣芽胞杆菌 CCTCC M2018539 中首先通过 PCR 扩增获得碱性蛋白酶编码基因 *aprE539* 并克隆入表达载体 pND-113 中,在枯草芽胞杆菌 WB600 中实现碱性蛋白酶 AprE539 的表达;重组酶 AprE539 经硫酸铵沉降(30%~70%)、透析、DEAE 阴离子交换和超滤获得纯酶,并以 SDS-PAGE 电泳测定 AprE539 的分子量大小。结果表明, AprE539 的分子量大小为 30 kDa。进一步对其酶学性质研究表明: AprE539 的最适作用 pH 为 11.0,最适作用温度为 65~70 °C;在 pH6.0~12.0 范围内具有较好的稳定性;在 60 °C 保温 1 h 后酶活剩余 70%;Cu²⁺、Mn²⁺、Ca²⁺ 和 Mg²⁺ 对酶活有明显促进作用。AprE539 在氨基酸序列上仅有 2 个氨基酸残基与碱性蛋白酶 2709 存在差异,但其酶学特征差异明显,为后续进一步探究其酶学性质差异性奠定基础。

关键词:地衣芽胞杆菌,耐热嗜碱性蛋白酶,克隆与表达,酶学性质

Gene Cloning, Expression and Enzymatic Properties of a Thermotolerant and Alkalophilic Protease Gene

XIE Ai-lian¹, LIN Bi-yu¹, NIU Dan-dan^{1*}, NOKUTHULA Peace Mchunu², YE Xiu-yun¹

(1.Key Laboratory of Marine Enzyme Engineering of Fujian Province,

College of Biological Science and Engineering, Fuzhou University, Fuzhou 350108, China;

2.Department of Biotechnology and Food Technology, Faculty of

Applied Sciences, Durban University of Technology, Durban 4000, South Africa)

Abstract: Alkaline protease is one of the most important industrial proteases. To further improve its activity under high temperature alkaline conditions and enhance its industrial application values, the alkaline protease-encoding gene *aprE539* was obtained by PCR amplification from *Bacillus licheniformis* CTCCC M2018539 and cloned into the expression vector pND-113 to express alkaline protease AprE539 in *Bacillus subtilis* WB600 in this study. The recombinant AprE539 was purified by ammonium sulfate precipitation (30%~70%), dialysis, DEAE anion sepharose anion-exchange chromatography separating to obtain pur enzyme. And the molecular weight of the purified AprE539 was determined by SDS-PAGE. The experimental results were as follows: The molecular weight of the purified AprE539 was 30 kDa. The recombinant AprE539 had the maximum activity at pH11.0 and 65~70 °C. It was stable at pH6.0~12.0 and remained about 70% of the activity after incubation at 60 °C for 1 h. Its activity was significantly enhanced with the existence of Cu²⁺, Mn²⁺, Ca²⁺ and Mg²⁺. Two amino acid residues difference were found between AprE539 and alkaline protease 2709. However their properties were different remarkably, which would lay a foundation for further exploring the differences of their enzymatic properties.

Key words: *Bacillus licheniformis*; thermotolerant and alkalophilic protease; cloning and expression; enzymatic properties

中图分类号: TS201.2*5

文献标识码: A

文章编号: 1002-0306(2019)20-0101-06

doi: 10.13386/j.issn1002-0306.2019.20.017

引文格式: 谢爱连, 林碧瑜, 牛丹丹, 等. 耐热嗜碱蛋白酶基因的克隆、表达及其酶学性质分析[J]. 食品工业科技, 2019, 40(20): 101-106.

收稿日期: 2019-01-22

作者简介: 谢爱连(1991-), 女, 硕士研究生, 研究方向: 酶工程, E-mail: 1428763237@qq.com。

* 通讯作者: 牛丹丹(1980-), 女, 博士, 副研究员, 研究方向: 工业微生物育种与酶工程, E-mail: ddniu0529@fzu.edu.cn。

基金项目: 国家自然科学基金(31601407); 海洋生物酶工程创新服务平台(2014FJPT02)。

碱性蛋白酶是指在碱性条件下能够水解蛋白质肽键的蛋白酶,是工业酶制剂中使用量最大的酶制剂之一,其分子量一般在 15~40 kDa 大小之间,等电点(pI)大多数处于 8.0~9.0 之间^[1-4]。碱性蛋白酶在食品加工行业中的应用,主要集中在大米蛋白的酶解^[5]、花芸豆多肽的提取^[6]、面包制作、蛋白水解产物苦味的脱除等方面^[7-9]。

地衣芽胞杆菌 2709 菌株生产的碱性蛋白酶,是目前我国工业上使用最广的碱性蛋白酶,也是我国生产量最大的碱性蛋白酶^[10-12]。地衣芽胞杆菌碱性蛋白酶 2709,是典型的 Subtilisin Carlsberg 类蛋白酶,其编码基因有 1140 bp,由信号肽(长度 87 bp)、前导肽(长度 228 bp)以及成熟肽(长度 825 bp)组成。碱性蛋白酶可以有效的加速干酪的生产和成熟,用于干酪制品的制作^[13-14];碱性蛋白酶可以水解诸如大豆蛋白、大米蛋白、花生蛋白等植物蛋白,用于功能食品的开发^[15-18]。碱性蛋白酶 2709 的最适作用 pH 在 9.5 左右,与目前国际上采用最适作用 pH 可以达到 10.5~12.0 其他细菌来源的碱性蛋白酶有一定差距;在耐热性能方面,碱性蛋白酶 2709 不耐热,不适合在高温条件下应用^[19-22]。因此挖掘耐热嗜碱新型蛋白酶资源依然是研究的热点。

本研究基于碱性条件(pH12)对前期^[23]所保藏的微生物菌种进行产碱性蛋白酶能力复筛,获得一株在碱性条件下作用性能优于地衣芽胞杆菌碱性蛋白酶 2709 的菌株,此菌株经鉴定为地衣芽胞杆菌,编号为 BL236,并在中国典型培养物保藏中心保藏,保藏号为 CCTCC NO: M2018539。本研究就其编码基因进行了克隆、表达与酶学特征解析,以期对新型碱性蛋白酶的研制奠定基础。

1 材料与方法

1.1 材料与仪器

大肠杆菌(*Escherichia coli*) JM109、枯草芽胞杆菌(*Bacillus subtilis*) WB600、地衣芽胞杆菌(*Bacillus licheniformis*) CCTCC M2018539、枯草芽胞杆菌重组菌 WB600(pND-113)、枯草芽胞杆菌重组菌 WB600(pND-aprE2709)以及表达载体 pND-113^[24]均来自福州大学生物科学与工程学院酶工程研究所;胰蛋白酶、酵母提取物 英国 Oxoid 公司;三氯乙酸(TCA)、无水碳酸钠、NaCl、乳糖、硫酸铵、柠檬酸三钠、K₂HPO₄·3H₂O、KH₂PO₄ 国药集团化学试剂有限公司;酪蛋白 上海生工生物工程有限公司;脱脂奶粉 内蒙古伊利实业集团股份有限公司;琼脂粉、福林酚试剂 北京索来宝公司;豆饼粉 福州福大百特生物科技有限公司;限制性内切酶 *Sma*I、*Bam*HI 和 T₄ DNA 连接酶 美国 Thermo Fisher Scientific 公司;PCR 产物纯化试剂盒、胶回收试剂盒和质粒抽提试剂盒 OMEGA 公司;LA Taq DNA 聚合酶、核酸分子量标准品(1 kb DNA Ladder(Dye Plus))、蛋白质分子量标准、硫酸卡那霉素 宝生物工程(大连)有限公司;PCR 扩增所用引物 由生工生物工程(上海)股份有限公司合成;其他试剂 均为国产分析纯;LB

培养基(g/L):胰蛋白酶 1%,酵母提取物 0.5%,NaCl 1%,pH7.0~7.2,121 °C 灭菌 20 min。蛋白酶鉴定培养基(g/L):在 LB 培养基中添加 0.5% 的脱脂奶粉,1%~2% 的琼脂粉,调节 pH 至 7.0;发酵培养基(g/L):乳糖 2%,豆饼粉 2%,硫酸铵 0.5%,柠檬酸三钠 0.25%,K₂HPO₄·3H₂O 1.8%,KH₂PO₄ 0.3%,调节 pH 至 7.0。

Lynx 400 高速落地冷冻离心机、CF-16RX 梯度热循环 PCR 仪 美国 Thermo Fisher Scientific 公司;AKTA pure system H8 蛋白纯化仪 GE 医疗集团;AE-8150 蛋白电泳仪 日本 ATTO 公司;TU-100C 恒温金属浴 上海一恒科技有限公司;DYCP-31DN 核酸水平电泳槽 北京市六一仪器厂;30 kDa 超滤离心管 北京索来宝科技有限公司;OHRUS pH 计 奥豪斯仪器(常州)有限公司。

1.2 AprE539 蛋白酶编码基因的分子克隆与异源表达

1.2.1 蛋白酶编码基因的克隆及重组质粒的构建 PCR产物和质粒的纯化、酶切、连接、转化以及转化子的筛选等均按照实验室常规方法进行^[25],使用试剂盒时按照试剂盒说明书进行。以地衣芽胞杆菌 CCTCC M2018539 基因组 DNA 为模板,aprE-BL1(5'-AGC GGATCCGCTCAGCCGCGCAAATG-3',下划线为引入的 *Bam*HI 酶切位点)和 aprE-BL2(5'-GGGTTATTGAGCGGCAGCTTCGACAT-3')为引物,进行 PCR 扩增反应,使用的循环参数是 94 °C 预变性 5 min,然后在 94 °C 变性 30 s,52 °C 下退火 30 s,72 °C 下延伸 60 s,进行 30 个循环,30 个循环结束后在 72 °C 下延伸 10 min。然后使用 PCR 产物纯化试剂盒进行纯化,而后将经 *Bam*HI 酶切后的 PCR 产物克隆入经 *Bam*HI/*Sma*I 双酶切后的质粒 pND-113 中,并转化到大肠杆菌 JM109 中,获得重组质粒 pND-aprE539。经 *Bam*HI 酶切(酶切体系为 10 μL,加酶量 1 μL,在 37 °C 酶切 1 h)及核酸电泳进行重组质粒的验证。克隆基因用 Sanger 测序法进行核苷酸序列测定。

1.2.2 重组菌的构建与酶液制备 将上述构建获得的重组质粒 pND-aprE539,采用改进后的 Spizizen^[26-27]方法转化到枯草杆菌 WB600 中,涂布于含有卡那霉素的 LB 平板上,37 °C 培养 12 h 后,挑取单菌落进一步在蛋白酶鉴定培养基上筛选转化子。将转化子与对照菌株 WB600(pND-113)同时点接于含 0.5% 脱脂奶粉的鉴定平板上,观察水解圈的情况,并进一步经限制性酶酶切、核酸电泳及蛋白酶活力测定进行重组菌 WB600(pND-aprE539)的确认。将上述构建的重组菌 WB600(pND-aprE539)及实验前期构建的重组菌 WB600(pND-aprE2709)^[19],接种于含 20 μg/mL 卡那霉素的 LB 液体培养基中,37 °C、200 r/min 培养 12~14 h,而后按照 10% 的接种量接种于发酵培养基中,发酵试验在 250 mL 三角瓶中进行,培养基装液量为 50 mL,200 r/min 摇床培养 72 h。发酵结束后,4 °C 离心取上清,获得粗酶液,置于-20 °C 冰箱保藏备用。

1.3 重组碱性蛋白酶的分离纯化与 SDS-PAGE 分析

1.2 获得的粗酶液,进行盐析(30%~70% 硫酸铵)、透析;透析后用 DEAE 阴离子交换色谱柱进行纯化,具体条件为:流动相 A 液为 50 mmol/L pH8.0 的 Tris-HCl 缓冲液,流动相 B 液为含 1 mol/L 氯化钠的 50 mmol/L pH8.0 的 Tris-HCl 缓冲液;收集穿透液采用超滤,选用 30 kDa 的超滤离心管(4000 r/min, 20 min)离心去除分子量小于 30 kDa 的杂蛋白;最后采用 SDS-PAGE 分析蛋白的纯化情况。SDS-PAGE 电泳采用 5% 的浓缩胶,12% 的分离胶。将纯化后的酶分别命名为碱性蛋白酶 AprE539 和碱性蛋白酶 2709,其酶样分别来自重组菌 WB600(pND-*aprE539*)和重组菌 WB600(pND-*aprE2709*)。

1.4 酶学性质的分析

1.4.1 最适作用 pH 和 pH 稳定性 最适作用 pH 的测定:使用 1% 酪蛋白作为底物在 40 °C 下 5.0、6.0、7.0、8.0、9.0、10.0、11.0 以及 12.0 的 pH 范围内测定 pH 的影响,以最高酶活力为 100%,计算其他作用 pH 下的相对酶活力,以确定其最适作用 pH。pH 稳定性测定:将酶液分别与 pH5.0、6.0、7.0、8.0、9.0、10.0、11.0 以及 12.0 的缓冲溶液按照 1:9 的体积比混合后处理 1 h 来确定,在最适的 pH 条件下测定残留的酶活性,以未进行处理的酶样酶活力为 100%,计算相对酶活。缓冲体系为:0.2 mol/L Na₂HPO₄-NaH₂PO₄, pH5~8;0.2 mol/L Na₂B₄O₇·10H₂O-H₃BO₃, pH8~9;0.05 mol/L Gly-NaOH, pH9~11。

1.4.2 最适作用温度和热稳定性 最适作用温度的确定:使用 1% 酪蛋白作为底物,在最适 pH 下测定温度对样本酶活性的影响,测定温度为 40、50、55、60、65、70 以及 75 °C 下酶活力,以酶活最高者计为 100%,计算其他温度下的相对酶活力,以确定其最适反应温度。在 40、50、55、60、65、70 以及 75 °C 下温育 1 h 测定热稳定性,以每隔 10 min 时间间隔取样以测定剩余活性,并以未经加热处理的酶样作为对照(100%),计算相对酶活,以确定酶的热稳定性。

1.4.3 金属离子和化学试剂对酶活的影响 在酶活测定反应体系中,分别加入终浓度为 5 和 10 mmol/L 的 K⁺、Na⁺、Li⁺、Mn²⁺、Cu²⁺、Mg²⁺、Co²⁺、Cr³⁺、Ni²⁺、Ba²⁺、Fe³⁺、Zn²⁺、Fe²⁺、Ca²⁺、Hg²⁺、Ag⁺、β-巯基乙醇、EGTA、SDS 和 EDTA,然后进行样本酶活性测定。以不加金属离子和化学试剂的反应体系的活力为 100%,计算相对酶活,考察金属离子及化学物质对酶活性的影响。

1.5 碱性蛋白酶酶活力的测定

蛋白酶酶活力测定使用福林酚法^[28]。其基本步骤为:取 0.2 mL 酶液至 0.2 mL 1% (w/v) 酪蛋白溶液中,在 40 °C 和 pH10.5 条件下作用 10 min 后,加入 0.4 mL 的 0.4 mol/L 三氯乙酸终止反应,在 40 °C 下显色 20 min,并于 680 nm 处测定吸光度。酶活力单位定义为:在 40 °C 和 pH10.5 条件下 1 min 水解酪蛋白释放 1 μg 酪氨酸所需的酶量,定义为 1 个蛋白酶酶活,以 U/mL 表示。相对酶活力(%)=(处理后的酶

活力/未处理的酶活力)。

1.6 生物信息学分析

运用 DNAMAN 和 MEGA5.0 软件,进行氨基酸序列分析与比对,以图片的形式输出比对结果。

2 结果与分析

2.1 地衣芽胞杆菌 CCTCC M2018539 碱性蛋白酶编码基因的克隆及重组菌的构建

由图 1a-3 可知,以寡核苷酸序列 *aprE*-BL1 和 *aprE*-BL2 为引物,从地衣芽胞杆菌 CCTCC M2018539 基因组中成功扩增大小为 1.0 kb 的目的片段。将扩增片段经核苷酸序列测定后进行分析,其与地衣芽胞杆菌 2709 碱性蛋白酶(*AprE2709*)编码基因的相似度为 98.86% (数据未显示)。将此片段经 *Bam*HI 酶切后克隆入经 *Bam*HI 和 *Sma*I 双酶切后的质粒 pND113 中获得重组质粒 pND-*aprE539*,重组质粒 pND-*aprE539* 经 *Bam*HI 酶切后,条带大小约为 6.3 kb,进一步通过核苷酸电泳测定,确认重组质粒 pND-*aprE539* 构建成功(如图 1a-1)。

采用化学转化法将重组质粒 pND-*aprE539* 转入枯草杆菌 WB600,在抗性平板上筛选转化子,再在含有 0.5% 脱脂奶粉的底物平板上进行确认。在底物平板上,37 °C 条件下,培养 12 h,转化子周围有明显蛋白水解圈,而对照菌 WB600(pND-113)周围未见有明显的水解圈(图 1b)。从转化子中提取重组质粒 pND-*aprE539* 和 pND-113 并进行 *Bam*HI 酶切验证,其条带大小分别为 6.3(图 1a-1)和 5.2 kb(图 1a-2),进一步以质粒 pND-*aprE539* DNA 为模板,*aprE*-BL1 和 *aprE*-BL2 为引物进行 PCR 扩增验证,获得预期大小的 *aprE539* 片段(图 1a-2)。将此转化子命名为 WB600(pND-*aprE539*),保藏用于后续实验。

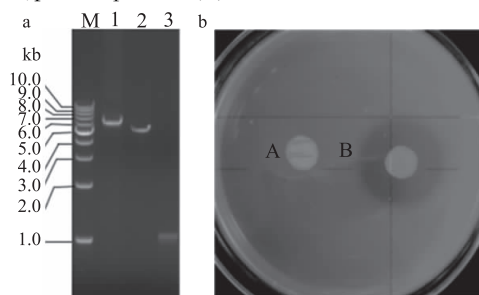


图 1 重组菌水解脱脂奶粉活性与重组质粒的鉴定

Fig.1 Skim milk hydrolysis of recombinant and confirmation of recombinant plasmid

注:a:重组质粒鉴定;1:pND-*aprE539*/*Bam*HI;2:pND-113/*Bam*HI;3:PCR 扩增 *aprE539*;M:1 kb DNA Ladder (Dye Plus)。b:转化子水解脱脂奶粉特征;A:WB600(pND-113);B:WB600(pND-*aprE539*)。

2.2 重组碱性蛋白酶的制备与纯化

将重组菌 WB600(pND-*aprE539*)与 WB600(pND-*aprE2709*)进行摇瓶发酵制备酶液,发酵结束后,发酵液经 4 °C 离心取上清,获得重组粗酶液。再经硫酸铵沉降、透析、阴离子交换色谱和超滤离心管进行纯化,并用 SDS-PAGE 分析纯化效果,结果如图 2 所示。重组碱性蛋白酶 AprE539 与碱性蛋白酶

2709 的分子量大小均为 30 kDa, 在 SDS-PAGE 中呈现为单一条带, 达到了电泳纯。

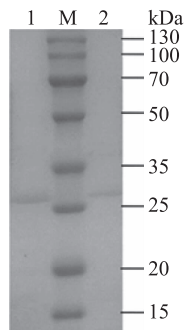


图2 碱性蛋白酶的 SDS-PAGE 分析

Fig.2 SDS-PAGE profile of the purified alkaline proteases

注: M: 蛋白质分子量标准; 1: 纯化的碱性蛋白酶 2709; 2: 纯化的碱性蛋白酶 AprE539。

2.3 重组碱性蛋白酶 AprE539 的酶学性质分析

2.3.1 最适作用 pH 在不同 pH 反应条件下分析碱性蛋白酶 AprE539 的酶活, 并与碱性蛋白酶 2709 进行比较, 结果如图 3 所示。碱性蛋白酶 AprE539 在 pH11.0 时表现出最高酶活, 而碱性蛋白酶 2709 的最适作用 pH 为 10.0; 碱性蛋白酶 2709 在 pH11.0 时只有 60% 左右的酶活力, 由此可见, 碱性蛋白酶 AprE539 能够在更高的碱性条件下发挥作用。

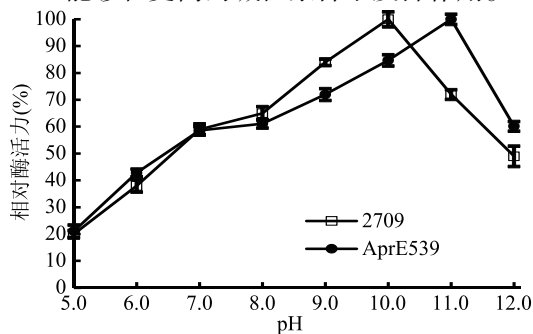


图3 碱性蛋白酶 AprE539 和 2709 的最适作用 pH

Fig.3 Optimal pH of alkaline protease AprE539 and 2709

2.3.2 pH 稳定性 在不同 pH 条件下分析碱性蛋白酶 AprE539 的 pH 稳定性并与碱性蛋白酶 2709 进行比较, 两者均有较宽的 pH 稳定区间, 在 pH6.0~11.0 之间均可维持 80% 以上的酶活(图 4)。与碱性蛋白酶 2709 不同的是, 碱性蛋白酶 AprE539 在 pH12.0 的条件下仍然维持在 90% 以上的酶活力, 而碱性蛋白酶 2709 在此条件下的 pH 稳定性明显变差(图 4)。可见, 本文获得的碱性蛋白酶 AprE539 具有在更高的碱性 pH 下的稳定性。

2.3.3 最适作用温度 在不同温度下分析碱性蛋白酶 AprE539 的最适作用温度, 结果汇总于图 5。碱性蛋白酶 AprE539 的最适作用温度为 65~70 °C, 较碱性蛋白酶 2709 的最适作用温度提高了约 10 °C (碱性蛋白酶 2709 的最适作用温度为 55 °C)(图 5)。在 60~75 °C 之间, 碱性蛋白酶 AprE539 的酶活力均高于碱性蛋白酶 2709 的酶活力; 碱性蛋白酶 AprE539 在温度高于 70 °C 时酶活下降, 而碱性蛋白酶 2709 在温

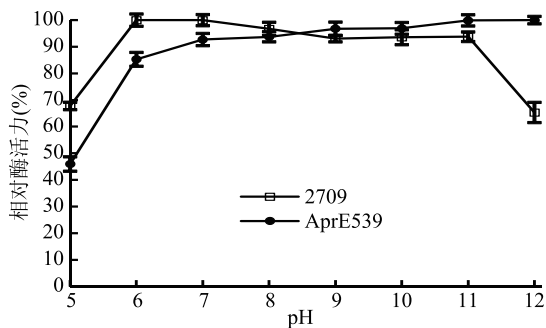


图4 碱性蛋白酶 AprE539 和 2709 的 pH 稳定性

Fig.4 pH stability of alkaline proteases AprE539 and 2709

度高于 55 °C 即直线下降。可见, 本文获得的碱性蛋白酶 AprE539 具有更高的最适作用温度, 其有效作用温度宽度也明显优于碱性蛋白酶 2709。

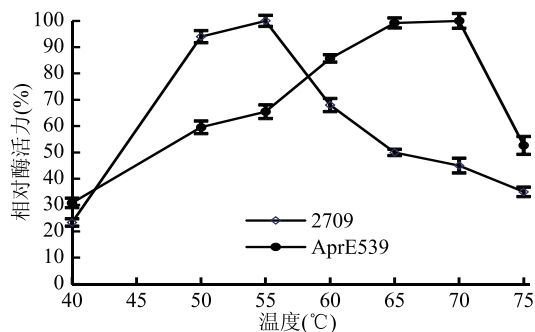


图5 碱性蛋白酶 AprE539 和 2709 的最适作用温度

Fig.5 Temperature optimum of alkaline proteases AprE539 and 2709

2.3.4 热稳定性 对碱性蛋白酶 AprE539 的耐热性进行了分析, 结果汇总于图 6。经 40 °C 保温处理后, 碱性蛋白酶 AprE539 和碱性蛋白酶 2709 的酶活力基本保持不变, 说明在 40 °C 以下, 两种蛋白酶都具有较好热稳定性; 50 °C 保温处理 1 h 后, 碱性蛋白酶 AprE539 维持 80% 的酶活力, 而碱性蛋白酶 2709 仅保留 70% 的酶活力; 在 60 °C 保温处理 1 h 后, 碱性蛋白酶 AprE539 保留 70% 左右的酶活, 而碱性蛋白酶 2709 的酶活丧失严重, 仅剩 30% 左右; 在 65 °C 保温处理 1 h 后, 碱性蛋白酶 AprE539 还保留 40% 左右的酶活, 碱性蛋白酶 2709 仅剩 10% 左右。可见, 碱性蛋白酶 AprE539 较碱性蛋白酶 2709 具有更高的热稳定性。

2.3.5 金属离子对酶活的影响 在酶促反应体系中加入终浓度为 5 mmol/L 或 10 mmol/L 不同的金属离子和化学试剂, 研究其对碱性蛋白酶 AprE539 酶活的影响并与碱性蛋白酶 2709 进行比较, 结果见表 1。金属离子对碱性蛋白酶 AprE539 和碱性蛋白酶 2709 酶活的影响存在明显的差异性。其中, Mn^{2+} 对碱性蛋白酶 AprE539 和碱性蛋白酶 2709 的酶活皆具有明显的激活作用, 且对碱性蛋白酶 AprE539 酶活的激活作用尤为明显, 酶活提高到原来的 4 倍; Ca^{2+} 、 Mg^{2+} 和 K^+ 对碱性蛋白酶 AprE539 酶活的激活作用明显, 但对碱性蛋白酶 2709 酶活的影响不明显; Cu^{2+} 对碱性蛋白酶 AprE539 的酶活有明显的促进作用, 但对碱性蛋白酶 2709 的酶活抑制作用明显; Fe^{3+} 、

表1 金属离子和化学试剂对 AprE539 和 2709 碱性蛋白酶酶活的影响 (n=3)

Table 1 Effect of metal ions and chemicals on the activities of AprE539 and 2709 alkaline proteases (n=3)

金属离子与化合物	AprE539 的相对酶活 (%)		2709 的相对酶活 (%)	
	5 mmol/L	10 mmol/L	5 mmol/L	10 mmol/L
对照	100 ± 0.96	100 ± 0.94	100 ± 0.43	100 ± 0.67
K ⁺	96 ± 2.21	112 ± 1.91	84 ± 1.14	87 ± 0.32
Na ⁺	103 ± 2.73	108 ± 2.50	95 ± 1.73	98 ± 1.50
Li ⁺	91 ± 2.32	98 ± 2.42	81 ± 1.38	88 ± 1.49
Mn ²⁺	488 ± 3.71	478 ± 2.68	185 ± 0.76	166 ± 3.01
Cu ²⁺	149 ± 2.24	150 ± 1.36	4 ± 0.76	24 ± 0.91
Mg ²⁺	98 ± 3.52	127 ± 1.89	99 ± 2.30	102 ± 0.24
Co ²⁺	97 ± 2.71	109 ± 1.61	100 ± 1.25	88 ± 0.76
Cr ³⁺	91 ± 3.23	104 ± 1.42	89 ± 1.23	101 ± 1.38
Ni ²⁺	100 ± 3.45	127 ± 2.81	96 ± 0.45	107 ± 0.81
Ba ²⁺	102 ± 1.83	107 ± 1.21	99 ± 0.83	102 ± 0.21
Fe ³⁺	47 ± 4.52	76 ± 1.81	78 ± 1.20	88 ± 1.42
Zn ²⁺	100 ± 2.93	95 ± 1.56	106 ± 3.12	101 ± 2.44
Fe ²⁺	89 ± 3.31	111 ± 1.78	83 ± 2.01	104 ± 0.78
Ca ²⁺	146 ± 4.48	114 ± 3.81	103 ± 2.55	103 ± 1.38
Hg ²⁺	88 ± 2.92	58 ± 2.85	88 ± 2.92	58 ± 2.85
Ag ⁺	54 ± 2.21	34 ± 1.31	50 ± 2.31	32 ± 1.45
SDS	87 ± 0.59	93 ± 1.59	89 ± 2.23	92 ± 0.89
β-巯基乙醇	104 ± 3.21	102 ± 2.54	100 ± 2.21	101 ± 3.54
EGTA	35 ± 2.48	21 ± 2.43	42 ± 2.28	18 ± 2.56
EDTA	48 ± 2.76	26 ± 2.45	53 ± 1.33	83 ± 2.45

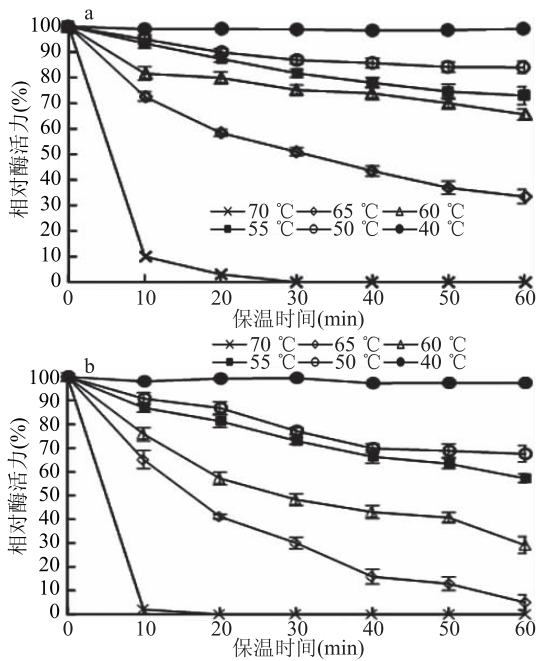


图6 碱性蛋白酶 AprE539 和 2709 的热稳定性
Fig.6 Thermal stability of alkaline protease AprE539 and 2709

注:a: AprE539; b: 2709。

Hg²⁺、Ag⁺对碱性蛋白酶 AprE539 和碱性蛋白酶 2709 的酶活皆有一定的抑制作用。此外,碱性蛋白酶 AprE539 和碱性蛋白酶 2709 对 EDTA 和 EGTA 均较为敏感;SDS 对碱性蛋白酶 AprE539 和碱性蛋白酶 2709 酶活的影响不大。

2.3.6 碱性蛋白酶序列分析 初步探究了碱性蛋白酶 AprE539 与碱性蛋白酶 2709 的氨基酸序列差异,结果如图 7。碱性蛋白酶 AprE539 的氨基酸序列中有 2 个氨基酸残基与碱性蛋白酶 2709 存在差异,分别是 28 位的异亮氨酸 (Ile) 和 124 位的丙氨酸 (Ala),其中, Ile28 位于蛋白酶的前肽序列中,会随着碱性蛋白酶 AprE539 前体的激活而被切割掉^[19], Ala124 位于成熟肽上。此 2 处差异与碱性蛋白酶 AprE539 所表现出的酶学性质的变化之间的内在本质,有待在后续研究中进一步阐明。

3 结论

本研究以实验前期一株优良碱性蛋白酶产酶菌株 CCTCC M2018539 为基础,通过基因克隆、异源表达及酶学性质分析等获得一种热稳定性较好且在高碱性下 pH 稳定性好的碱性蛋白酶 AprE539,其最适作用 pH11.0,在 pH6.0~12.0 的条件下处理 1 h 后,酶活力仍然维持在 90% 以上;最适作用温度为 65~70 °C,在 60 °C 保温 1 h 后,酶活剩余 70%;Cu²⁺、Mn²⁺、Ca²⁺ 和 Mg²⁺ 对酶活有明显促进作用。进一步与工业碱性蛋白酶 2709 氨基酸序列进行了对比,其与 2709 存在 2 个氨基酸的差异,分别是 28 位和 124 位,即蛋白酶 AprE539 的 28 位是异亮氨酸 (Ile),而 2709 是苏氨酸 (Thr),该位点位于前肽区域,会随着前体的激活而被降解;蛋白酶 AprE539 的 124 位是丙氨酸 (Ala),而 2709 是缬氨酸 (Val),二者均是非极性疏水氨基酸,位于蛋白质结构的内部,有助于稳定蛋白的折叠,而丙氨酸 (Ala) 比缬氨酸 (Val) 的侧链基团

AprE539	ACPAKVEKDYI VGFKSGVKTASVKKL I KESGGKVDKCFRI I NAAKAKLKEALKEVKN	60
2709	ACPAKVEKDYI VGFKSGVKTASVKKL I KESGGKVDKCFRI I NAAKAKLKEALKEVKN	60
Consensus	aqpaknvekdyy vgfks gvk t asvkkd -i kesggkvdkqfri i naakakl dkeal kevkn	
AprE539	DPEVAVVEEDHVAHALAQTVPYGI PLI KADKVCAQGFKANVAVLDTGI CASHPELVN	120
2709	DPEVAVVEEDHVAHALAQTVPYGI PLI KADKVCAQGFKANVAVLDTGI CASHPELVN	120
Consensus	dpdvayveedhva hal aqt vpygi pl i kadkvq aqgf k ganvkvavl dt gi qashpdl nv	
AprE539	VGGAS FVAGEAYNTDCNGHGT HVAGTVAALNTTGV LGVAPSVSLYAVKVLN SSGSGSYS	180
2709	VGGV SFVAGEAYNTDCNGHGT HVAGTVAALNTTGV LGVAPSVSLYAVKVLN SSGSGSYS	180
Consensus	vgg s f v g a e a y n t d c n g h g t h v a g t v a a l n t t g v l g v a p s v s l y a v k v l n s s g s g s y s	

图7 AprE539 和 2709 的氨基酸序列比对分析

Fig.7 Amino acid sequence alignment of AprE539 and 2709

注:虚线框:差异氨基酸所在位置。

更小,这可能是碱性蛋白酶 AprE539 热稳定性优于 2709 的原因。基于这些差异可以进一步探究蛋白酶结构与功能的相关关系,为后续获得性能更优良的碱性蛋白酶奠定理论基础。

参考文献

- [1] 雷攀先.地衣芽孢杆菌 GXT-1 两个碱性蛋白酶基因的克隆表达、酶学性质研究及分子改造[D].南宁:广西大学,2013.
- [2] Sarker P K, Talukdar S A, Deb P, et al. Optimization and partial characterization of culture conditions for the production of alkaline protease from *Bacillus licheniformis* P003 [J]. Springerplus, 2013, 2(1): 1-11.
- [3] Embaby A M, Saeed H, Hussein A, et al. SHG10 keratinolytic alkaline protease from *Bacillus licheniformis* SHG10 DSM 28096: Pobust stability and unusual non-cumbersome purification[J]. Basic Microbiol, 2016, 56: 1317-1330.
- [4] 王帅, 林学政, 黄晓航, 等. 印尼热泉中嗜热碱性蛋白酶菌株筛选及酶学性质研究[J]. 海洋科学进展, 2012, 30(2): 244-251.
- [5] 吕乐, 刘冬, 万红霞, 等. 碱性蛋白酶 Alcalase 酶解大米蛋白制备小分子肽的动力学研究[J]. 现代食品科技, 2014(7): 149-153.
- [6] 张静, 陈浩然, 王笑颖, 等. 花芸豆多肽提取工艺的研究[J]. 食品工业科技, 2016, 37(24): 315-318.
- [7] 高梅娟, 刘平, 兰小红, 等. 双酶酶解豆粕蛋白制备低苦味肽[J]. 食品工业科技, 2010(2): 193-192.
- [8] 夏凡, 琚争艳. 微生物碱性蛋白酶在食品工业中的应用及其安全性研究进展[J]. 山东食品发酵, 2008(2): 19-22.
- [9] 张可欣, 蒋慧, 汤晓娟, 等. 复合酶制剂对甜酒酿面包发酵烘焙特性的影响[J]. 食品科学, 2018, 39(1): 16-21.
- [10] Gupta R, Beg Q K, Lorenz P. Bacterial alkaline proteases: Molecular approaches and industrial applications [J]. Applied Microbiology & Biotechnology, 2002, 59(1): 15-32.
- [11] Deng A, Jie W, Yun Z, et al. Purification and characterization of a surfactant-stable high-alkaline protease from *Bacillus* sp. B001 [J]. Bioresource Technology, 2010, 101(18): 7111-7117.
- [12] Sareen R, Mishra P. Purification and characterization of organic solvent stable protease from *Bacillus licheniformis* RSP-09-37 [J]. Appl Microbiol Biotechnol, 2008, 79(3): 399-405.
- [13] Shayeh J S, Sefidbakhth Y, Siadat SOR, et al. Continuous fast fourier transforms cyclic voltammetry as a new approach for investigation of skim milk k-casein proteolysis, a comparative study [J]. International Journal of Biological Macromolecules, 2017, 103: 972-977.
- [14] Anjani K, Kailasapathy K, Phillips M. Microencapsulation of enzymes for potential application in acceleration of cheese ripening [J]. International Dairy Journal, 2007, 17(1): 70-86.
- [15] 程晓芳, 袁丹丹, 张余慧, 等. 蛋白酶在食品工业中的应用研究进展 [J]. 食品研究与开发, 2018, 39(7): 221-224.
- [16] 李胤静, 张娜, 杨宝柱, 等. 大豆分离蛋白的限制性酶解及其功能性质研究 [J]. 中国林副特产, 2014(2): 10-13.
- [17] 谭斌, 单扬. 橙汁花生肽饮料生产工艺 [J]. 食品与机械, 2000(2): 25-26.
- [18] 林敏刚. 碱性蛋白酶在水解植物蛋白中的应用 [J]. 中国油脂, 2009, 34(12): 30-33.
- [19] 黄磊, 董自星, 金鹏, 等. 地衣芽孢杆菌碱性蛋白酶嗜碱突变体的特征分析 [J]. 食品与发酵工业, 2017, 43(6): 34-40.
- [20] Fujinami S, Fujisawa M, Mormile M R. Industrial applications of alkaliphiles and their enzymes - past, present and future [J]. Environmental Technology, 2010, 31(8-9): 845-856.
- [21] Lylloff J E, Hansen L B S, Morten J, et al. Genomic and exoproteomic analyses of cold- and alkaline-adapted bacteria reveal an abundance of secreted subtilisin-like proteases [J]. Microbial Biotechnology, 2016, 9(2): 245-256.
- [22] Saeki K, Ozaki K, Kobayashi T, et al. Detergent alkaline proteases: Enzymatic properties, genes, and crystal structures [J]. Journal of Bioscience & Bioengineering, 2007, 103(6): 501-508.
- [23] 牛丹丹, 谢爱连, 叶秀云. 一种嗜碱性蛋白酶及其基因工程菌的构建方法: 中国, 2018110698696 [P]. 2018-12-18.
- [24] 牛丹丹, 靳晓, 吴海洋, 等. 解淀粉芽孢杆菌 α -淀粉酶高活力突变体的创建与性质研究 [J]. 食品与发酵工业, 2017(10): 29-34.
- [25] 诸葛健, 王正祥. 工业微生物实验技术手册 [M]. 北京: 中国轻工业出版社, 1994.
- [26] 夏雨. 枯草芽孢杆菌食品级表达系统的构建和分泌表达研究 [D]. 无锡: 江南大学, 2007.
- [27] 令楨民. *Streptomyces griseus* 胰蛋白酶的分子改造 [D]. 无锡: 江南大学, 2013.
- [28] 中国国家标准化管理委员会. GB/T 23527-2009 蛋白酶制剂 [S]. 北京: 中国标准出版社, 2009.